

# EL3004-Circuitos Electrónicos Analógicos

## Clase No. 6: Transistores MOSFET

Marcos Diaz

Departamento de Ingeniería Eléctrica (DIE)  
Universidad de Chile

Septiembre, 2011

## 1 Repaso Clase #5

## 2 Metal-Oxide-Semiconductor FET (MOSFET)

- Descripción
- Determinación de  $I_D$

## 3 FET de Juntura (JFET)

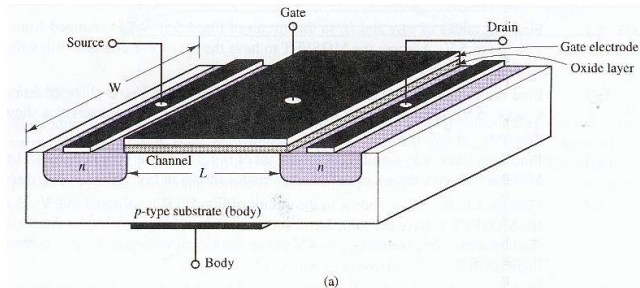
# Resumen Clase #5

- Estructura y operación del transistor BJT
  - Características Físicas
  - Región activa
  - Flujos de huecos y electrones
  - Características I-V
  - Ganancia de corriente

# Metal-Oxide-Semiconductor FET (MOSFET)

MOSFET Enhancement de Canal *n*

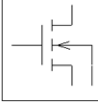
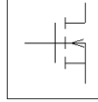
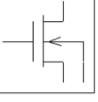
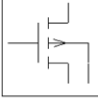
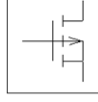
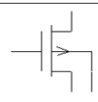
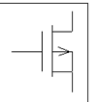
- Tiene cuatro terminales
- Usualmente el Substrato (o body) se conecta a la Fuente (o Source)
- Si el substrato es de tipo *p* el MOSFET será de **canal *n*** y vice-versa
- Existen de tipo ***Enhancement*** (como el de la figura) y ***depletion*** (donde se ha dopado el semiconductor bajo la capa aislante)



# Metal-Oxide-Semiconductor FET (MOSFET)

## Tipos de MOSFET

**Nota:** Existen en la literatura diversos símbolos para representar los dispositivos MOSFET indicados.

	<i>Enhancement</i>	<i>Depletion</i>		
	<i>Cuerpo libre</i>	<i>Cuerpo conectado a Fuente</i>	<i>Cuerpo libre</i>	<i>Cuerpo conectado a Fuente</i>
<i>Tipo n</i>				
<i>Tipo p</i>				

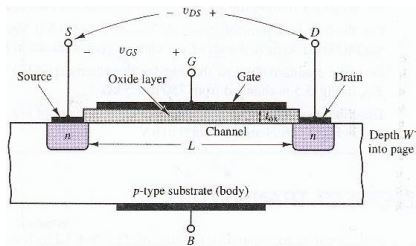
# Metal-Oxide-Semiconductor FET (MOSFET)

- Estructura MOS

- Metal-Oxide-Semiconductor
- La estructura existente entre la compuerta (Gate) y el substrato (Body)

- Compuerta define conducción

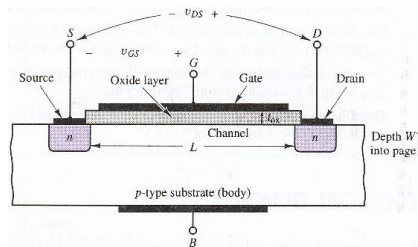
- Volataje en la compuerta respecto al cuerpo
- Comienza a **atraer** portadores minoritarios ( $n$ ) a la capa aislante
- Para un voltaje suficientemente alto se forma un canal de tipo  $n$  (Capa de inversión)
- Condición  $V_{GB} > V_{TR}$
- Para voltajes de compuerta más grandes el canal será mayor
- $I_G=0$



# Metal-Oxide-Semiconductor FET (MOSFET)

## Descripción

- Capa de Oxido es **aislante**
  - Resistencia (DC) de la compuerta muy alta
  - Corriente (DC) por la compuerta despreciable
  - Control del **encendido** del transistor:  $V_{GB}$  (Usualmente  $V_{GB} = V_{GS}$ )
  - En forma natural el Transistor MOSFET es un amplificador de **Transconductancia**
- Existen comportamientos capacitivos
  - A frecuencias **altas** la impedancia de compuerta puede ser baja
  - Las señales de alta frecuencia pueden **evitar** la alta resistencia

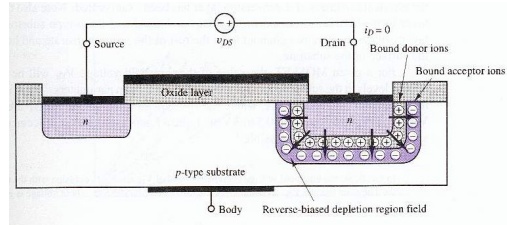


# Metal-Oxide-Semiconductor FET (MOSFET)

## Operación

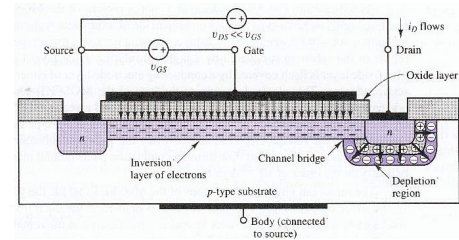
- Compuerta **abierta**

- No se forma canal
- Al aplicar  $V_{DS}$  no circula corriente
- Juntura Drenaje-Substrato en inversa
- Capa de agotamiento se extiende en juntura DC



- Compuerta **cerrada**

- Se forma canal
- Al aplicar  $V_{DS}$  existe paso de corriente
- Para voltajes  $V_{DS}$  pequeños el comportamiento es resistivo

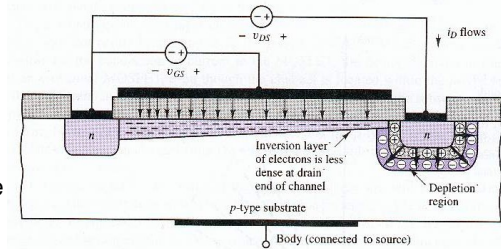


# Metal-Oxide-Semiconductor FET (MOSFET)

## Operación

- Compuerta cerrada

- Aumento de  $V_{DS}$  genera asimetría entre junturas Compuerta-Fuente y Compuerta-Drenaje
- Campo Eléctrico disminuye hacia el drenaje



- Asimetría en junturas

- Compuerta-Fuente
  - Voltaje en directa  $V_{GS}$
  - Se inyectan portadores
- Compuerta-Drenaje
  - Voltaje directa  $V_{GS} - V_{DS}$
  - Voltaje  $\downarrow \Rightarrow$  campo eléctrico  $\downarrow$
  - $\Rightarrow$  portadores minoritarios en la capa de inversión  $\downarrow$
  - Existe "Pinch-Off", o estrechamiento total del canal: Corriente no cambia ante cambios de  $V_{GS}$

# MOSFET de canal $n$

Para el cálculo de la corriente  $I_D$  necesitamos estimar la carga en el substrato y los campos eléctricos impuestos externamente.

$$\rho_S = -q(N_{AS} + n_{pS})$$

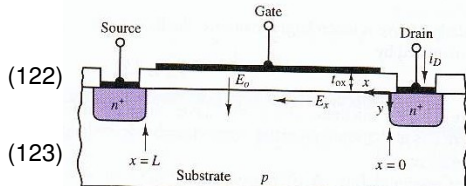
$$E_o = -\frac{\rho_S}{\epsilon_{ox}} = \frac{q(N_{AS} + n_{pS})}{\epsilon_{ox}}$$

$$n_{pS} = \frac{\epsilon_{ox} E_o}{q} - N_{AS}$$

$$E_o(x) = \frac{V_{GS} - V(x)}{t_{ox}}$$

$$E_x(x) = -\frac{dV(x)}{dx}$$

$$J_S = q n_{pS} \mu_e E_x(x) \Rightarrow i_D = J_S W$$



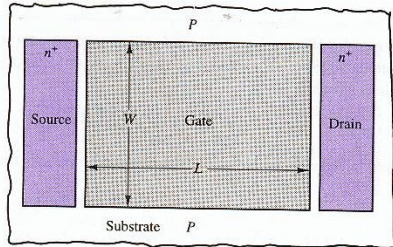
(a)

$$(124)$$

$$(125)$$

$$(126)$$

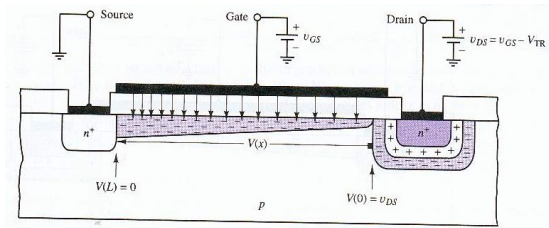
$$(127)$$



# MOSFET de canal $n$

Así,

$$\begin{aligned}
 i_D(x) &= Wq\mu_e n_{pS} E_x(x) = Wq\mu_e \left[ \frac{\epsilon_{ox} E_o}{q} - N_{AS} \right] E_x(x) \\
 &= W\mu_e \epsilon_{ox} \left[ E_o - \frac{qN_{AS}}{\epsilon_{ox}} \right] E_x(x) \\
 &= -W\mu_e \epsilon_{ox} \left[ \frac{V_{GS} - V(x)}{t_{ox}} - \underbrace{\frac{qN_{AS}t_{ox}}{\epsilon_{ox}} \frac{1}{t_{ox}}}_{V_{TR}} \right] \frac{dV(x)}{dx}
 \end{aligned} \tag{128}$$



# MOSFET de canal $n$

Comportamiento en Región Lineal ( $V_{DS}$  pequeño)

La corriente es una función de  $x$ . Es posible encontrar una corriente promedio por el canal que toma en consideración esta distribución espacial. Así,

$$\int_{x=0}^{x=L} i_D dx = \int_{x=0}^{x=L} i_D(x) dx \quad (129)$$

$$i_D L = -\frac{W \mu_e \epsilon_{ox}}{t_{ox}} \int_{V(x=0)=V_{DS}}^{V(x=L)=0} [(V_{GS} - V_{TR}) - V] dV \quad (130)$$

$$i_D = 2 \left[ \underbrace{\frac{\mu_e}{2} \frac{W}{L} \frac{\epsilon_{ox}}{t_{ox}}}_K \right] \left[ (V_{GS} - V_{TR}) V_{DS} - \frac{V_{DS}^2}{2} \right] \quad (131)$$

La ecuación anterior es una ecuación parabólica que alcanza un máximo en:

$$i_{D \max} = K(V_{GS} - V_{TR})^2 \quad (132)$$

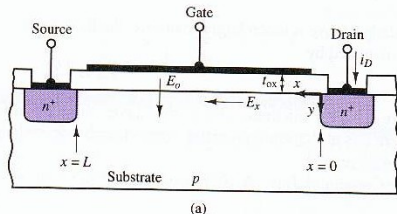
# MOSFET de canal $n$

Comportamiento en Región Lineal ( $V_{DS}$  pequeño)

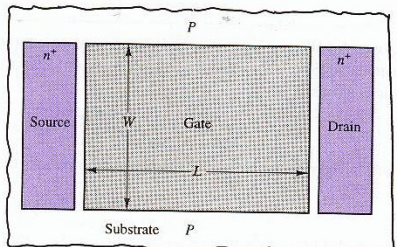
- $V_{GS}$  debe ser mayor a  $V_{TR}$  para que se forme capa de inversión (o canal)
- Resistencia de encendido Drenaje-Fuente
  - Definido por el voltaje de encendido:  $V_{GS} - V_{TR}$
  - Constante  $K$

$$i_D \approx 2K(V_{GS} - V_{TR})V_{DS} \equiv \frac{V_{DS}}{R_{DS(\text{on})}}$$

$$V_{TR} \equiv qN_{AS} \frac{t_{ox}}{\epsilon_{ox}}; \quad K \equiv \frac{\mu_\epsilon}{2} \frac{\epsilon_{ox}}{t_{ox}} \frac{W}{L}$$



(a)



(b)

# MOSFET de canal $n$

## Ecuaciones de MOSFET

- Zonas

- Corte:  $V_{GS} < V_{TR}$
- Lineal o triode:  
 $V_{GS} \geq V_{TR}$  y  
 $0 \leq V_{DS} \ll (V_{GS} - V_{TR})$
- Intermedia:  $V_{GS} \geq V_{TR}$  y  
 $0 \leq V_{DS} < (V_{GS} - V_{TR})$
- Saturación:  $V_{GS} \geq V_{TR}$  y  
 $V_{DS} \geq (V_{GS} - V_{TR})$

$$i_D = \begin{cases} 0 & V_{GS} \geq V_{TR} \\ 2K(V_{GS} - V_{TR})V_{DS} & V_{GS} \geq V_{TR}; 0 \leq V_{DS} \ll (V_{GS} - V_{TR}) \\ 2K\left[(V_{GS} - V_{TR})V_{DS} - \frac{V_{DS}^2}{2}\right] & V_{GS} \geq V_{TR}; 0 \leq V_{DS} < (V_{GS} - V_{TR}) \\ K(V_{GS} - V_{TR})^2 & V_{GS} \geq V_{TR}; V_{DS} \geq (V_{GS} - V_{TR}) \end{cases}$$

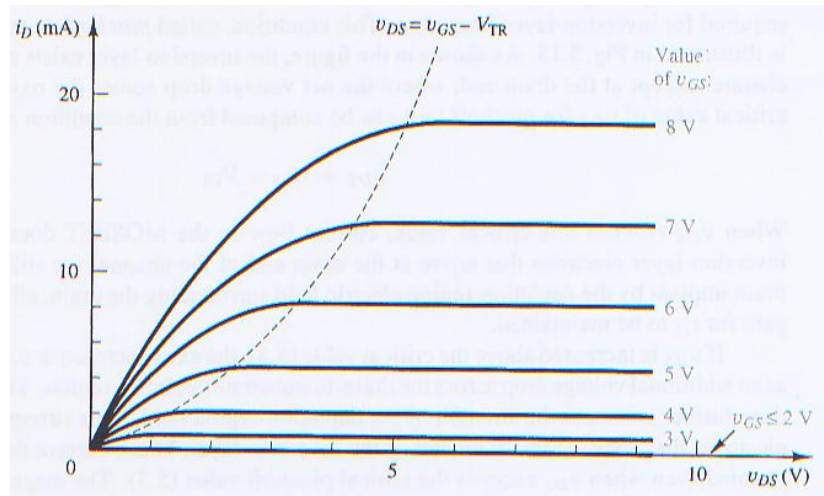
- Parámetros

- Voltaje de Threshold  $V_{TR}[V]$ 
  - MOSFET de **Enhancement**:  $V_{TR} > 0$
  - MOSFET de **Depletion**:  $V_{TR} < 0$
- Ganancia zona de saturación  $K$ 
  - $K > 0$  (canal tipo  $n$ )

$$\begin{aligned} & V_{GS} \geq V_{TR} \\ & V_{GS} \geq V_{TR}; 0 \leq V_{DS} \ll (V_{GS} - V_{TR}) \\ & V_{GS} \geq V_{TR}; 0 \leq V_{DS} < (V_{GS} - V_{TR}) \\ & V_{GS} \geq V_{TR}; V_{DS} \geq (V_{GS} - V_{TR}) \end{aligned}$$

# MOSFET de canal $n$

## Curvas



# MOSFET de canal $n$

## Ecuaciones de MOSFET (algunos efectos)

- Efecto Early

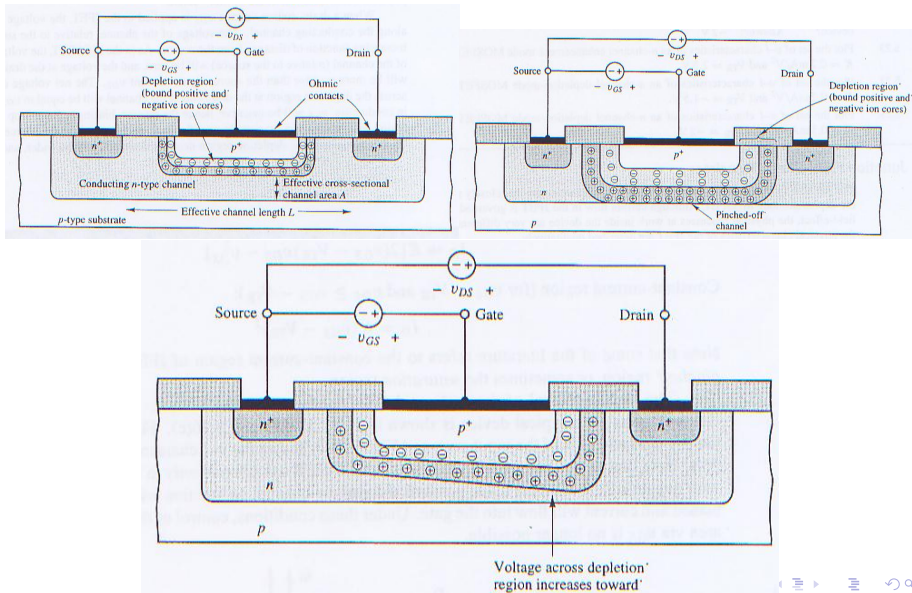
$$i_D = K (V_{GS} - V_{TR})^2 \left( 1 + \frac{V_{DS}}{V_A} \right)$$

- Efecto del substrato a potencial diferente que el de la fuente

$$V_{TR} = V_{TR_0} + \Delta V_{TR} = V_{TR_0} + \gamma \left( \sqrt{V_{SB} + 2\phi_F} - \sqrt{2\phi_F} \right)$$

- $\gamma$  es un parámetro entre 0.3 y 1.0 [ $V^{1/2}$ ]
- $\phi_F$  es la constante que depende del material denominada **potencial de Fermi**.

# JFET de canal $n$



# JFET de canal $n$

## Ecuaciones de JFET

- Zonas

- Corte:  $V_{GS} < V_P$
- Triode:  $V_{GS} > V_P$  y  
 $0 \leq V_{DS} < (V_{GS} - V_P)$
- Corriente constante:  
 $V_{GS} > V_P$  y  
 $V_{DS} \geq (V_{GS} - V_P)$

$$i_D = \begin{cases} 0 & V_{GS} \leq V_P \\ 2 \frac{I_{DSS}}{V_P^2} (V_{GS} - V_P) V_{DS} & V_{GS} \geq V_P; 0 \leq V_{DS} \ll (V_{GS} - V_P) \\ 2 \frac{I_{DSS}}{V_P^2} \left[ (V_{GS} - V_P) V_{DS} - \frac{V_{DS}^2}{2} \right] & V_{GS} \geq V_P; 0 \leq V_{DS} < (V_{GS} - V_P) \\ \frac{I_{DSS}}{V_P^2} (V_{GS} - V_P)^2 & V_{GS} \geq V_P; V_{DS} \geq (V_{GS} - V_P) \end{cases}$$

- Parámetros

- Voltaje de Pinchoff  $V_P[V]$ 
  - JFET canal  $n$ :  $V_P < 0$
  - JFET canal  $p$ :  $V_P > 0$
- Ganancia zona de saturación  $K$ 
  - $K > 0$  (canal tipo  $n$ )
  - $K < 0$  (canal tipo  $p$ )

$$V_{GS} \geq V_P$$

$$V_{GS} \geq V_P; 0 \leq V_{DS} \ll (V_{GS} - V_P)$$

$$V_{GS} \geq V_P; 0 \leq V_{DS} < (V_{GS} - V_P)$$

$$V_{GS} \geq V_P; V_{DS} \geq (V_{GS} - V_P)$$

# JFET de canal $n$

## Ecuaciones de JFET

Type of Device	$V_{TR}$	$K$	$v_{GS}$	$v_{DS}$	$i_D$	Constant-Current Region Condition
$n$ -channel						
Enhancement-mode MOSFET	Pos.	Pos.	Pos.	Pos.	Pos.	$v_{DS} > v_{GS} - V_{TR}$
Depletion-mode MOSFET	Neg.	Pos.	Pos. or Neg.*	Pos.	Pos.	$v_{DS} > v_{GS} - V_{TR}$
JFET	Neg.	Pos.	Neg.	Pos.	Pos.	$v_{DS} > v_{GS} - V_{TR}$
$p$ -channel						
Enhancement-mode MOSFET	Neg.	Neg.	Neg.	Neg.	Neg.	$v_{DS} < v_{GS} - V_{TR}$
Depletion-mode MOSFET	Pos.	Neg.	Neg. or Pos.**	Neg.	Neg.	$v_{DS} < v_{GS} - V_{TR}$
JFET	Pos.	Neg.	Pos.	Neg.	Neg.	$v_{DS} < v_{GS} - V_{TR}$

\*  $|i_D|$  increases with more positive  $v_{GS}$ .

\*\*  $|i_D|$  increases with more negative  $v_{GS}$ .

